

# Search for shortest paths based on the projective description of unweighted graphs.

V.A. Melent'ev (<https://orcid.org/0000-0002-4855-9589>)

A new method of representing graph projections in computer memory is proposed, which is more informative than matrix and list data structures based on elementary relations of vertices adjacency or edge incidences. The class of graphs considered in this study is expanded to include mixed graphs containing both undirected and directed edges (arcs). A new method for searching the shortest routes based on this approach is also proposed. The results of the general and special (for compact graphs) analysis of the asymptotic complexity of this method in solving typical SPP problems (Shortest Path Problem) show that the developed method is highly efficient and will find its application not only in information networks, where there are particularly high requirements for the topology of computing systems and the efficiency of finding shortest routes, but also in other scientific, technical, transport and economic fields.

Keywords: graphs, projections of mixed graphs, shortest paths, shortest routes, asymptotic complexity estimation.

## Поиск кратчайших путей, основанный на проективном описании невзвешенных графов.

В.А. Мелентьев (<https://orcid.org/0000-0002-4855-9589>)

Предложен новый способ представления проекций графа в памяти компьютера, более информативный чем основанные на элементарных отношениях смежности вершин или инцидентности ребер матричные и списковые структуры данных. Класс рассмотренных при этом графов расширен до смешанных, содержащих и неориентированные, и ориентированные ребра (дуги). Также предложен основанный на этом способе новый метод поиска кратчайших маршрутов. Результаты приведенных в статье общего и частного (для компактных графов) анализов асимптотической сложности этого метода при решении типовых SPP-задач (Shortest Path Problem) показывают, что разработанный метод высокоэффективен и найдет применение не только в информационно-сетевых приложениях, где предъявляются особо высокие требования к топологиям вычислительных систем и к эффективности поиска кратчайших маршрутов, но и в других научно-технических, транспортно-логистических и хозяйственно-экономических областях.

Ключевые слова: графы, проекции смешанных графов, кратчайшие пути, кратчайшие маршруты, асимптотическая оценка сложности

### 1. Введение.

Проблема поиска кратчайшего пути (SSPP — Search Shortest Path Problem) актуальна для каждого человека на протяжении всей его жизни. Объединение людей в различные сообщества, основанные на национальности, географическом положении (с присущим ему климатом, животным и растительным миром, запасами природных ресурсов и пр.), кооперирование труда, а также научно-технический и технологический прогресс, неизбежно приводят к увеличению размеров и сложности этой проблемы [1]. Это превышает возможности интуитивного ее понимания и требует разработки эффективных подходов к ее решению. Считается [2], что впервые алгоритмический подход к решению этой задачи был представлен в работе Винера [3]. В этой и в последующих работах [4], [5] были заложены начальные основы метода поиска в глубину (DFS — Depth-First Search). Однако активная проработка SSP-проблемы началась с середины прошлого века [6]-[12] и совпала с появлением первых вычислительных машин. С тех пор эта проблема стала одной из наиболее актуальных задач теории графов.

Это объясняется, во-первых, потребностями многочисленных научно-технических и хозяйственных приложений (сетевых, навигационных, транспортно-логистических, экономических и т.д.). Во-вторых, — тем что увеличение размеров и усложнение используемых в этих приложениях моделей приводит к непропорциональным тратам

временных и пространственных ресурсов, ограничивающих возможности реальновременной реализации таких приложений. Именно поэтому факторы времени и пространства, как правило, являются целевыми при сравнении, выборе и оптимизации методов и алгоритмов поиска кратчайших путей под конкретные приложения. Вычисление кратчайших путей в крупномасштабных сетях [13], усложнения их графовых моделей, такие как неравноправность ребер (взвешенность, ориентированность, наличие отрицательных длин), вариативность диапазона плотности исследуемых графов и т. п. также могут привести к недопустимому ухудшению временных и пространственных характеристик. Это приводит к необходимости поиска соответствующих приложениям методов представления, анализа и синтеза графов. Важно при этом учитывать, что алгоритмы комбинаторной оптимизации часто требуют многократного подпрограммного решения проблем кратчайшего пути, поэтому разработка и тестирование эффективных алгоритмов для задачи кратчайшего пути является основной частью исследований в области сетевых оптимизаций [14]. С обзорами алгоритмов кратчайшего пути, основанными в том числе на таксономии, можно ознакомиться в работах [15] - [17].

Возможности получения детерминированных реальновременных решений любой математической проблемы неизбежно связаны с выбором математического описания объекта исследования (в нашем случае — графа  $BC$ ) [18]. Большинство алгоритмов поиска кратчайших путей традиционно базируется на представлении графа  $G = (V, E)$  списком  $A_L(G)$  ( $A_L$  — Adjacency List) или матрицей  $A_M(G)$  ( $A_M$  — Adjacency Matrix) смежности [19], задающими бинарные отношения вершин и ребер или дуг. При этом список  $A_L^1$  представляет собой массив из  $n = |V|$  списков смежности  $A_L(u)$ , содержащих для каждой вершины  $u \in V$  все вершины  $v$ , такие, что  $(u, v) \in E$ . Таким образом,  $A_L(u)$  состоит из всех вершин, смежных вершине  $u$ , а массив  $A_L$  задает все  $m$  ребер из  $E$ ,  $|E| = m$ . Представление невзвешенного графа матрицей смежности предполагает произвольную нумерацию всех вершин графа числами  $1, 2, \dots, n = |V|$ , тогда  $A_M = (a_{ij})$ , размер такой матрицы —  $n \times n$ , и

$$a_{ij} = \begin{cases} 1, & \text{если } (i, j) \in E \\ 0 & \text{в противном случае.} \end{cases}$$

Работа с бинарными отношениями смежности ориентирует на решение задачи последовательным перебором этих отношений, и суть основанных на этом алгоритмов состоит в сокращении переборного пространства путем отсечения вариантов, противоречащих заданным условиям. Заметим, что вариабельность, и соответственно, сложность алгоритмов при этом с ростом размера графа возрастают несоразмерно. В связи с этим в [20] впервые было предложено описание графа, заменяющее отношения смежности каждой из вершин более крупными категориями —  $n$ -арными отношениями их  $k$ -достижимости, где  $k \leq D(G)$ ,  $D$  — диаметр графа  $G$ . Первоначально это описание было названо автором "скобочным" и как таковое получило развитие в работах [21], [22]. Однако, начиная с 2005 г., эти формальные описания по аналогии с геометрическими стали именоваться проекциями [23]-[25], а их совокупность — системой проекций, или "проективным" его описанием [26]<sup>2</sup>.

Цель данной статьи состоит в изложении основанного на таком описании метода поиска кратчайших маршрутов, как потенциальной основы для создания алгоритмов, конкретизирующих его под соответствующие приложения. Метод основан на преобразовании традиционных элементарных смежностных описаний графа в более высокоуровневые проективные описания и на использовании таковых в поиске кратчайших

<sup>1</sup> Далее по умолчанию считаем:  $A_L(G) \equiv A_L$ ,  $A_M(G) \equiv A_M$

<sup>2</sup> К сожалению, работы, обобщающей эти исследования, пока не существует, и со свойствами проекций графа и их обоснованиями, можно ознакомиться только из вышеупомянутых источников.

маршрутов и путей. Из соображений большей наглядности, в качестве исходной для построения проекций мы используем матрицу смежности.

## 2. Методология.

### 2.1. Объект исследования.

В данной работе рассматриваются связные невзвешенные графы без петель, кратных ребер и дуг. Предлагаемый метод может быть применен к ненагруженным (невзвешенным) ориентированным, неориентированным и смешанным<sup>1</sup> графам — в этом случае понятия кратчайших маршрутов и кратчайших путей равнозначны. Использование метода в анализе взвешенных графов также допустимо, но в приведенной здесь редакции его применение ограничено поиском кратчайших маршрутов. В демонстрационных целях мы будем использовать граф, изображенный на рис. 1, с единичной длиной ребер и дуг.

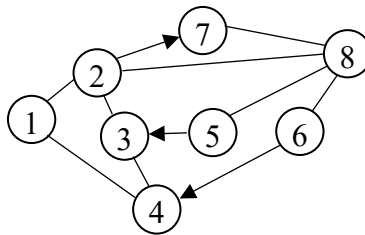


Рис 1. Простой смешанный ненагруженный граф

### 2.2. Субъект исследования.

Исследование направлено на поиск кратчайших маршрутов и путей в обусловленных п. 2.1. графах. Несмотря на то что в соответствии с [27] маршруты и пути определяются одинаково (как ограниченная начальной  $v_1$  и конечной  $v_k$  вершинами последовательность вершин  $(v_1-v_k) = (v_1, v_2, \dots, v_k)$ , где  $(v_i, v_{i+1})$ ,  $1 \leq i \leq k - 1$  — ребро и или дуга графа), длины их в невзвешенных и во взвешенных графах отличаются существенно: длина  $(v_1-v_k)$ -маршрута определяется *числом* составляющих его ребер/дуг —  $l_r(v_1-v_k) = k - 1$ , а длина такого же  $(v_1-v_k)$ -пути — суммарным их весом —  $l_p(v_1-v_k) = \sum_{i=1}^{k-1} w_{i,i+1}$ , где  $w_{i,i+1}$  — вес  $(v_i, v_{i+1})$ -ребра/дуги.<sup>2</sup> В связи с этим кроме понятия пути мы используем здесь понятие маршрута, во-первых, потому что в невзвешенном графе можно ограничиться поиском кратчайшего маршрута, по определению совпадающего по длине с кратчайшим путем, а во-вторых, потому что излагаемый здесь метод поиска кратчайших маршрутов взят нами за основу в последующей публикации, посвященной поиску кратчайшего пути во взвешенном графе. Напомним также, что, хотя в общем случае в отличие от путей вершины в маршрутах могут повторяться, в кратчайших маршрутах повторение вершин исключено, поскольку при наличии повторяющихся вершин в маршруте, его можно укоротить, удалив повторяющиеся вершины и связывая оставшиеся вершины напрямую.

Основными проблемами поиска кратчайших путей в графах являются [19]: SSSP (Single-Source Shortest Paths), SDSP (Single-Destination Shortest Paths), SPSP (Single-Pair Shortest Path) и APSP (All-Pairs Shortest Paths). SSSP-проблема заключается в поиске кратчайших путей из одной вершины, SDSP — в поиске кратчайших путей в одну из вершин, SPSP — в поиске кратчайшего пути между заданной парой вершин, а APSP — в поиске кратчайшего пути между всеми вершинами. В данной работе мы коснемся каждой

<sup>1</sup> Смешанный граф содержит как неориентированные ребра, так и ребра с ориентацией (дуги) [27].

<sup>2</sup> Индексы при  $l_r$  и  $l_p$  соответствуют "route" (маршрут) и "path" (путь).

из этих проблем, отнесенных к маршрутам во взвешенных графах или путям — в невзвешенных.

### 2.3. Инструментарий исследования.

Как отмечалось выше, в большинстве алгоритмов поиска исходным является, как правило, описание графа матрицей  $A_M$  или списком  $A_L$  смежности. Предлагаемый в данной работе метод поиска основан на описании графа проекциями, которые, во-первых, по определению несут в себе информацию только о простых (без повторяющихся вершин) маршрутах и, таким образом исключают большую часть заведомо не кратчайших маршрутов. А во-вторых, они могут быть достаточно просто получены из традиционно задаваемых матрицей или списком бинарных отношений смежности вершин.

Из соображений большей наглядности в качестве исходной мы будем использовать матрицу смежности, однако, замена ее списком смежности не потребует дополнительных усилий вследствие биективности этих описаний. Матрица смежности  $A_M$ , соответствующая демонстрационному графу (рис. 1) приведена ниже:

Таблица 1. Матрица смежности  $A_M(G)$  изображенного на рис. 1 графа  $G(V, E)$ .

$v_i \backslash v_j$	1	2	3	4	5	6	7	8
1	∅	1	∅	1	∅	∅	∅	∅
2	1	∅	1	∅	∅	∅	1	1
3	∅	1	∅	1	∅	∅	∅	∅
4	1	∅	1	∅	∅	∅	∅	∅
5	∅	∅	1	∅	∅	∅	∅	1
6	∅	∅	∅	1	∅	∅	∅	1
7	∅	∅	∅	∅	∅	∅	∅	1
8	∅	1	∅	∅	1	1	1	∅

Символ "∅" (пусто) в элементе (ячейке)  $a_{ij}$  матрицы означает отсутствие дуги или ребра из вершины  $v_i$ , соответствующей  $i$ -й строке, в вершину  $v_j$ , соответствующую  $j$ -му столбцу, тогда как  $a_{ij} = 1$  говорит о наличии дуги  $(v_i, v_j)$  из  $v_i$  в  $v_j$  или ребра  $(v_i, v_j)$ , если  $a_{ij} = a_{ji} = 1$ .

В следующем разделе приведены сведения о проективном описании смешанного невзвешенного графа и о базовых свойствах его проекций, достаточных для понимания предлагаемого метода. Там же предложен способ их получения из исходной матрицы смежности и хранения в памяти компьютера.

### 3. Проекция графа

В этом разделе даны необходимые пояснения и определения к используемой в работе оригинальной терминологии. Напомним, что речь здесь идет о простых (без петель и кратных ребер) смешанных графах. Смешанный граф состоит из конечного множества  $V$  вершин и наборов неупорядоченных и упорядоченных пар различных вершин. Любая упорядоченная пара  $(u, v)$  называется дугой, или ориентированным ребром. Дуга  $(u, v)$  направлена из вершины  $u$  в вершину  $v$  и является инцидентной обоим этим вершинам, при этом вершина  $u$  смежна к вершине  $v$ , а  $v$  смежна из  $u$  [27]. Любая неупорядоченная пара  $\{u, v\}$  называется *ребром*, а вершины этой пары являются смежными как из  $u$ , так и из  $v$ . Это необходимо учитывать при рассмотрении данных ниже определений.

#### 3.1. Коротко о проекциях графа

*Проекция*  $P(u)$  графа  $G(V, E)$  представляет собой многоуровневую конструкцию, на нулевом уровне которой расположена ракурсная вершина  $u \in V$ ; порожденное этой вершиной подмножество смежных из  $u$  вершин первого уровня  $V_1 \subset V$  содержит все вершины такого (из  $u$ ) окружения  $V_1 = \mathcal{N}(u) = \{v_{11}, v_{12}, \dots, v_{1|\mathcal{N}(u)|}\}$ . Каждая вершина  $v_{1x}$  этого подмножества ( $1 \leq x \leq |\mathcal{N}(u)|$ ) порождает на 2-м уровне подмножество смежных из

нее вершин, совокупность таких подмножеств определяет все вершины 2-го уровня —  $V_2 = \{\mathcal{N}(v_{11}) \setminus \{u, v_{11}\}, \mathcal{N}(v_{12}) \setminus \{u, v_{12}\}, \dots, \mathcal{N}(v_{1|\mathcal{N}(u)|}) \setminus \{u, v_{1|\mathcal{N}(u)|}\}\}$ . Каждый последующий  $k$ -й ( $k > 1$ ) уровень проекции представляет собой совокупность окружений вершин  $(k-1)$ -го уровня без предшествующих им вершин, например, вершина  $v_{(k-1)x}$  порождает на  $k$ -м уровне подмножество смежных ей вершин  $V_k(v_{(k-1)x})$  без вершин, предшествующих ей на пути из  $u$  в  $v_{(k-1)x}$ :  $V_k(v_{(k-1)x}) = \mathcal{N}(v_{(k-1)x}) \setminus (u-v_{(k-1)x})$ . Число порожденных на  $k$ -м уровне подмножеств соответствует числу вершин  $(k-1)$ -го уровня, хотя некоторые из этих подмножеств могут быть пустыми, если  $\mathcal{N}(v_{(k-1)x}) \setminus (u-v_{(k-1)x}) = \emptyset$  [18], [28]. Фрагменты проекции, порождаемые вершинами 1-го уровня, называем ветвями проекции.

Отношения непосредственного предшествования и порождения вершин в проекции  $P(u)$  есть отношения их смежности из предшествующей вершины<sup>1</sup>. Упорядочив вершины по их непосредственным предшествованиям и порождениям от ракурсной  $u$  до  $j$ -й вершины  $v_{kj}$   $k$ -го уровня, получим маршрут  $(u-v_{kj}) = (u, v_{1x}, \dots, v_{kj})$  из вершины  $u$  в вершину  $v_{kj}$ , при этом в невзвешенном графе номер  $k$  уровня равен длине простого пути из ракурсной вершины  $u$  в любую вершину подмножества  $V_{kj}$  находящихся на уровне  $k$  вершин. Последовательность вершин, непосредственно предшествующих  $v_{kj}$  вплоть до ракурсной вершины  $u$ , дает обратный маршрут  $(v_{kj}-u) = \overline{(u-v_{kj})}$ , если маршрут  $(u-v_{kj})$  не содержит направленных ребер (дуг).

Если в проекции графа одна и та же вершина встречается  $m$  раз, то ее экземпляр, наиболее приближенный к основанию и расположенный первым слева, считаем оригинальным, а остальные  $(m-1)$  ее копий называем реплицированными, или репликами [29]. Появление реплик в проекции указывает на наличие в графе циклов. Сумма номеров уровней, находящихся в разных ветвях оригинальной вершины и ее реплики, или любых двух реплик одной и той же вершины определяет длину соответствующего цикла.

Проекция  $P(u)$  графа  $G(V, E)$  является полной, если ею определены все вершины и все ребра этого графа [30]. Вершинно-полная проекция графа  $G(V, E)$  содержит все вершины множества  $V$ , но не обязательно является полной, тогда как реберно-полная проекция является полной всегда. Минимальное число уровней вершинно-полной проекции<sup>2</sup> определяется эксцентриситетом ее основания (ракурсной вершины), тогда как в полной проекции оно может быть на единицу большим, если хотя бы пара оригинальных вершин эксцентриситетного уровня смежна.

Достаточно подробные сведения о свойствах проекций можно почерпнуть из работ [31-33]. Однако во всех этих работах речь идет только о проекциях неориентированных невзвешенных графов. Здесь мы дополняем эти работы и учитываем возможное наличие в графе не только неориентированных, но и ориентированных ребер (дуг). Ниже показаны проекции взятого для примера смешанного невзвешенного графа (рис. 1):

<sup>1</sup> В смешанном графе вершины могут быть смежными по направленным ребрам и не смежными по обратным направлениям. То есть, если в смешанном графе имеется ребро, которое направлено от вершины А к вершине В, то вершина А является смежной с вершиной В, но вершина В не смежна с вершиной А.

<sup>2</sup> Далее в тексте, говоря о проекции  $P(u)$ , мы по умолчанию полагаем ее вершинную полноту.

Таблица 2. Проекция смешанного невзвешенного графа

$$\begin{aligned}
 P(1) &= 1^{(2^{(3^{(4)}, 7^{(8)}, 8^{(5,6,7)}), 4^{(3^{(2)})})})} & P(5) &= 5^{(3^{(2^{(1,7,8)}, 4^{(1)}), 8^{(2^{(1,3,7)}, 6^{(4)}, 7^0)})})} \\
 P(2) &= 2^{(1^{(4)}, 3^{(4)}, 7^{(8)}, 8^{(5,6,7)})} & P(6) &= 6^{(4^{(1,3)}, 8^{(2,5,7)})} \\
 P(3) &= 3^{(2^{(1^{(4)}, 7^{(8)}, 8^{(5,6,7)}), 4^{(1^{(2)})})})} & P(7) &= 7^{(8^{(2^{(1,3)}, 5^{(3)}, 6^{(4)})})} \\
 P(4) &= 4^{(1^{(2^{(3^0, 7^{(8)}, 8^{(5,6,7)})}), 3^{(2^{(1^0, 7^{(8)}, 8^{(5,6,7)})})})})} & P(8) &= 8^{(2^{(1,3,7)}, 5^{(3)}, 6^{(4)}, 7^0)}
 \end{aligned}$$

Как видим, число уровней в каждой из проекций соответствует эксцентриситету  $\varepsilon(u) = \max_{v \in V} d(u, v)$  корневой (ракурсной) вершины  $u$  проекции  $P(u)$  и не превышает диаметра

$$D(G) = \max_{v \in V} \varepsilon(v) \text{ графа } G.$$

Для решения SDSР-проблемы поиска кратчайших путей в одну из вершин графа мы вводим здесь понятие обратной проекции  $\bar{P}(u)$ . В проекции  $P(u)$  ракурсная вершина  $u$  является начальной во всех простых маршрутах<sup>1</sup>, по длине не превышающих ее эксцентриситета  $\varepsilon(u)$ . В отличие от проекции  $P(u)$ , вершина  $u$  в обратной проекции  $\bar{P}(u)$  является конечной во всех ограниченных по длине обратным эксцентриситетом<sup>2</sup>  $\bar{\varepsilon}(u)$  простых маршрутах из остальных  $v \in V$  вершин графа. Обратным эксцентриситетом  $\bar{\varepsilon}(u)$  вершины  $u$  назовем наибольшее расстояние до этой вершины от остальных его вершин  $\bar{\varepsilon}(u) = \max_{v \in V} d(v, u)$ . Число уровней в прямой  $P(u)$  и обратной  $\bar{P}(u)$  проекциях равно соответствующим эксцентриситетам  $\varepsilon(u)$  и  $\bar{\varepsilon}(u)$  ракурсной вершины  $u$ . Обратные проекции изображенного на рис. 1 графа приведены ниже:

Таблица 3. Обратные проекции смешанного графа

$$\begin{aligned}
 \bar{P}(1) &= 1^{(2^{(3^{(4,5)}, 8^{(5,6,7)}), 4^{(3^{(2,5)}, 6^{(8)})})})} & \bar{P}(5) &= 5^{(8^{(2^{(1^{(4)}, 3^{(4)}, 6^0, 7^{(2^{(1,3)})})})})} \\
 \bar{P}(2) &= 2^{(1^{(4)}, 3^{(4,5)}, 8^{(5,6,7)})} & \bar{P}(6) &= 6^{(8^{(2^{(1^{(4)}, 3^{(4,5)}, 5^0, 7^{(2^{(1,3)})})})})} \\
 \bar{P}(3) &= 3^{(2^{(1^{(4)}, 8^{(5,6,7)}), 4^{(1^{(2)}, 6^{(8)})}, 5^{(8^{(2,6,7)})})})} & \bar{P}(7) &= 7^{(2^{(1^{(4)}, 3^{(4,5)}, 8^{(2^{(1,3)}, 5^0, 6^0)})})} \\
 \bar{P}(4) &= 4^{(1^{(2^{(3,8)}), 3^{(2^{(1)}, 5^{(8)}), 6^{(8^{(2,5,7)})})})} & \bar{P}(8) &= 8^{(2^{(1^{(4)}, 3^{(4,5)}, 5^0, 6^0, 7^{(2^{(1,3)})})})}
 \end{aligned}$$

Понятно при этом, что в графе эксцентриситеты  $\varepsilon(u)$  и  $\bar{\varepsilon}(u)$ , а соответственно и число уровней в проекциях  $P(u)$  и  $\bar{P}(u)$  смешанных и ориентированных графов могут существенно отличаться. Например, из проекции  $P(6)$  —  $\varepsilon(6) = d(6, 1) = d(6, 2) = d(6, 3) = d(6, 5) = d(6, 7) = 2$ , тогда как из  $\bar{P}(6)$  —  $\bar{\varepsilon}(6) = d(4, 6) = 4$ . Хотя вершины, определяющие прямой и обратный диаметры в ориентированных и смешанных графах могут быть разными (в рассматриваемом графе  $D(G) = \varepsilon(4) = 4$  и  $\bar{D}(G) = \varepsilon(6) = 4$ ), диаметры  $D(G) = \max_{v \in V} \varepsilon(v)$  и  $\bar{D}(G) = \max_{v \in V} \bar{\varepsilon}(v)$  всегда совпадают, так как при их определении оцениваются расстояния для всех пар вершин одного и того же множества.

<sup>1</sup> Простым мы называем маршрут, в котором, как и в простой цепи, все вершины попарно различны.

<sup>2</sup> Понятия обратного эксцентриситета и обратного диаметра имеют смысл в ориентированных и смешанных графах и впервые введены здесь. Эти метрики, на наш взгляд, могут занять свое место среди используемых в анализе таких графов метрик, например, метрик центральности вершин и т.п.

### 3.2. Представление проекций в памяти компьютера.

В кратком сообщении [34] о быстром поиске кратчайших путей в невзвешенном графе предлагалось описывать проекцию  $P(u)$  таблицей с  $n = |V|$  столбцами, соответствующими конечным вершинам  $v_j \in V$  маршрутов из истоковой вершины  $u$ . Строки такой таблицы соответствуют  $k$ -м уровням проекции от  $k = 1$  до уровня  $k = \varepsilon(v)$ , на котором достигается вершинная полнота<sup>1</sup>. Содержимое  $j$ -й ячейки  $k$ -го уровня  $a_{k,j}$  указывает на вершину  $v_{k-1,j}$ , предшествующую вершине  $v_{k,j}$  на маршруте  $(u-v_j)$  длиной  $l(u-v_j) = k$  и расположенную, соответственно, на  $(k - 1)$ -м уровне проекции  $P(u)$ . "Пустое" содержимое ( $a_{k,j} = \emptyset$ ) означает, что маршрута из  $u$  в  $v_j$  с длиной  $l_r(u-v_j)$  не существует.

Здесь мы покажем получение соответствующих проекциям графа  $P(u)$ -таблиц из описывающей его матрицы смежности, минуя приведенный в подразделе 3.1. промежуточный этап формального описания проекций<sup>2</sup>. Как уже указано выше, в конечном итоге проекция  $P(u)$  графа будет представлена таблицей с  $\varepsilon(u)$  строками и  $n = |V|$  столбцами, соответствующими конечным вершинам  $v_j \in V$  маршрутов  $(u-v_j)$  из  $u$  в  $v_j$ . Номер строки  $1 \leq k \leq \varepsilon(u)$  соответствует номеру уровня проекции и равен длине маршрута из ракурсной вершины  $u$  в вершину  $v_j$ , если содержимое  $a_{k,j}$   $j$ -й ячейки  $k$ -й строки не является "пустым" ( $a_{k,j} \neq \emptyset$ ). Понятно, что  $j$ -й столбец, соответствующий начальной вершине  $u$   $(u-v_j)$ -маршрута будет "пустым", так как в соответствии с оговоренной в п. 2.1. постановкой петлевые графы не являются объектами нашего рассмотрения; таким образом, единственный в таблице проекции "пустой" столбец однозначно укажет на описываемую таблицей проекцию  $P(u)$ <sup>3</sup>.

Из определения вершинно-полной проекции понятно, что в невзвешенном графе она определяет множество всех возможных из ракурсной вершины  $u$  простых маршрутов во все остальные  $v \in V$  вершины графа, причем длины этих маршрутов  $l(u-v)$  не превышают эксцентриситета ракурсной вершины:  $l(u-v) \leq \varepsilon(u), v \in V$ . Понятно, что в число таких маршрутов входят и все кратчайшие. Если вершинно-полная проекция наряду с оригинальными вершинами содержит и реплики некоторых из них, то число определяемых ею маршрутов превысит число кратчайших на число реплик.

Для решения SDSP-проблемы поиска кратчайших путей<sup>4</sup> в одну из вершин  $u$  графа мы будем использовать  $\bar{P}(u)$ -таблицы, соответствующие обратным проекциям  $\bar{P}(u)$  и определяющие множество всех простых маршрутов в ракурсную вершину  $u$  с длинами, не превышающими обратного эксцентриситета этой вершины:  $l(v-u) \leq \bar{\varepsilon}(u), v \in V$ .

Опишем далее построение таких  $P(u)$ - и  $\bar{P}(u)$ -таблиц. Исходной при этом является представленная таблицей 1 матрица смежности, в которой, если граф взвешенный, веса ребер и дуг считаем единичными.

#### 3.2.1. Построение $P(u)$ -таблиц, SSSR-строк и ASSR-матрицы графа.

Заполнение соответствующей проекции  $P(u)$  таблицы для производим следующим образом:

- Из  $i$ -й строки матрицы смежности определяем вершины 1-го уровня проекции  $v_{1,j} \in \mathcal{N}(u)$ , смежные из вершины  $u$ . В ячейки 1-й строки таблицы, соответствующие

<sup>1</sup> Проекция становится вершинно-полной, когда в ней перечислены все вершины графа, т. е. при равенстве номера уровня проекции эксцентриситету ее ракурсной вершины.

<sup>2</sup> Мы не преследуем здесь цель минимизировать размещение проекций в памяти, т. к. структуру данных о проекции определяют реализующие метод алгоритмы. Здесь нам важно обеспечить лишь наглядность предлагаемого в статье метода

<sup>3</sup> В соответствии с постановкой мы рассматриваем связные графы (см. п. 2.1.), поэтому недостижимых из  $u$  вершин, а соответственно, и "пустых" столбцов (кроме ракурсного  $j = u$ ) быть в таблице не может.

<sup>4</sup> В демонстрационных целях мы используем здесь невзвешенный граф, для которого понятия кратчайших маршрутов и кратчайших путей равнозначны.

вершинам окружения  $v_{1,j} \in \mathcal{N}(u)$  из  $u$ , вносим ссылку на порождающую это окружение вершину  $u$ . Если  $|\mathcal{N}(u)| = n - 1$ , то все ячейки 1-й строки (за исключением  $u$ -й) заполнены, и построение SSSR-таблицы  $P(u)$  завершено. Иначе — каждой "непустой"  $j$ -й ячейке 1-й строки ставим в соответствие подмножество вершин  $R_{1,j} = \{u, v_{1,j}\}$ , запрещенных для продления маршрута  $(u-v_{1,j})$  и переходим к формированию последующих  $k$ -х ( $k \geq 2$ ) строк таблицы ( $k$ -х уровней проекции  $P(u)$ ).

- Для каждой непустой ( $a_{k-1,j} \neq \emptyset$ )  $j$ -й ячейки  $(k-1)$ -й строки ( $k \geq 2$ ) определяем подмножество  $V_k(v_{(k-1),j})$  вершин, порожденных на  $k$ -м уровне проекции  $P(u)$  ( $k$ -я строка таблицы) вершиной  $v_{(k-1),j}$  ( $k-1$ -го уровня:  $V_k(v_{k,j}) = \mathcal{N}(v_{(k-1),j}) \setminus R_{(k-1),j}$ ,  $R_{k,j} := R_{(k-1),j} \cup \{v_{k,j}\}$ . Число таких подмножеств равно числу вершин предшествующего  $(k-1)$ -го уровня. Каждое из этих подмножеств рассматриваем поочередно. При этом в ячейки  $k$ -й строки, соответствующие вершинам рассматриваемого подмножества  $V_k(v_{(k-1),j})$ , вносим ссылку на порождающую их вершину  $v_{(k-1),j}$  (на  $j$ -ю ячейку  $(k-1)$ -й строки).

Если в результате  $k$ -го шага во всех столбцах полученной  $k$ -строковой таблицы (кроме столбца, соответствующего ракурсной вершине  $u$ ) появится хотя бы одно непустое (отличное от  $\emptyset$ ) значение, то полученная в виде SSSR-таблицы проекция  $P(u)$  является вершинно-полной, поэтому наращивание ее уровней (строк таблицы) прекращаем. Число строк такой таблицы (уровней проекции) равно эксцентриситету вершины  $u$ :  $\varepsilon(u) = k$ . В противном случае, добавляем в таблицу  $(k+1)$ -ю строку и заполняем ее до выполнения условия вершинной полноты проекции.

Покажем это на примере проекции  $P(6)$  (для наглядности выполняемые шаги нумеруем в соответствии с получаемыми при этом строками таблицы):

1. Из 6-й строки матрицы смежности табл. 1 определяем вершины, смежные из вершины 6 — это вершины 4 и 8. В соответствующие им 4-ю и 8-ю ячейки 1-й строки (1-й уровень проекции), помещаем вершину 6, порождающую на 1-м уровне выстраиваемой проекции вершины 4 и 8:  $a_{14} = a_{18} = 6$ . Проверяем полученную первую строку таблицы на условие вершинной полноты: как видим, столбцы 1, 2, 3, 5, 7 пока пусты —  $a_{11} = a_{12} = a_{13} = a_{15} = a_{17} = \emptyset$ , значит полученная таблица еще не обеспечивает вершинную полноту проекции  $P(6)$ , и ее следует надстроить, как минимум, одной строкой. Формируем множества  $R_{14} := \{6, 4\}$  и  $R_{18} := \{6, 8\}$  уже используемых в маршрутах (6-4) и (6-8) вершин, и запрещенных к дальнейшему использованию в продлении этих маршрутов<sup>1</sup>.

2. Формируем соответствующую второму уровню проекции  $P(6)$  строку табл. 2. Порождаемое на втором уровне вершиной 4 первого уровня подмножество  $V_2(4) = \mathcal{N}(4) \setminus R_{1,4} = \{1, 3\} \setminus \{6, 4\} = \{1, 3\}$  (окружение  $\mathcal{N}(4)$  получено из 4-й строки матрицы смежности, подмножество  $R_{1,4}$  получено на 1-м шаге). Заполняем содержимое соответствующих  $V_2(4)$  ячеек (2, 1) и (2, 3) ссылкой на порождающую их вершину 4 первого уровня (ячейку (1, 4) таблицы):  $a_{21} := 4$  и  $a_{23} := 4$ .

Порождаемое вершиной 8 первого уровня подмножество  $V_2(8) = \mathcal{N}(8) \setminus R_{1,8} = \{2, 5, 6, 7\} \setminus \{6, 8\} = \{2, 5, 7\}$  (окружение  $\mathcal{N}(8)$  получено из 8-й строки матрицы смежности, подмножество  $R_{1,8}$  получено на предыдущем шаге). Заполняем содержимое соответствующих  $V_2(8)$  ячеек (2, 2), (2, 5) и (2, 7) ссылкой на порождающую их вершину 8 первого уровня проекции (ячейку (1, 8) таблицы):  $a_{22} := a_{25} = a_{27} = 8$ .

Из полученной на 2-м шаге таблицы видно, что хотя бы одна ячейка каждого столбца кроме шестого (соответствующего ракурсной вершине проекции) не является пустой. Это означает, что в каждую из вершин  $v_j \in V \setminus \{u\}$  определен хотя бы один маршрут из вершины

<sup>1</sup> Простая цепь не содержит повторяющихся вершин, поэтому вершины, уже использованные в формировании рассматриваемого маршрута, являются недопустимыми.

$u = 6$ , т. е. полученная на этом шаге 2-уровневая SSSR-таблица проекции  $P(6)$  является вершинно-полной с эксцентриситетом ракурсной вершины  $\varepsilon(6) = 2$ .

$v_j$ № уровня	1	2	3	4	5	6	7	8
2	4	8	4	∅	8	∅	8	∅
1	∅	∅	∅	6	∅	∅	∅	6

Размер  $\varepsilon(u)$ -уровневой  $P(6)$ -таблицы можно уменьшить до одной SSSR-строки. Для этого поуровнево, начиная со второго уровня ( $1 < k \leq \varepsilon(u)$ ), перемещаем ее элементы  $a_{kj}$  в пустые элементы первой:  $(a_{1j} = \emptyset, a_{kj} \neq \emptyset) \rightarrow a_{1j} := a_{kj}$ ; содержимое  $a_{kj}$  дополнительно можно проиндексировать номером уровня проекции  $k$ , если есть необходимость в выявлении не только кратчайшего маршрута, но и его длины:

	1	2	3	4	5	6	7	8
6	4 <sub>2</sub>	8 <sub>2</sub>	4 <sub>2</sub>	6 <sub>1</sub>	8 <sub>2</sub>	∅	8 <sub>2</sub>	6 <sub>1</sub>

Аналогично получив SSSR-строки (см. приложение П1) всех  $P(u)$ ,  $u \in V$  проекций, можно объединить их в APSR-матрицу, определяющую кратчайшие пути между всеми вершинами невзвешенного графа:

Таблица 4. APSR-матрица кратчайших маршрутов между всеми вершинами графа

$v_j$ $u$	1	2	3	4	5	6	7	8
1	∅	1 <sub>1</sub>	(2,4) <sub>2</sub>	1 <sub>1</sub>	8 <sub>3</sub>	8 <sub>3</sub>	2 <sub>2</sub>	2 <sub>2</sub>
2	2 <sub>1</sub>	∅	2 <sub>1</sub>	(1,3) <sub>2</sub>	8 <sub>2</sub>	8 <sub>2</sub>	2 <sub>1</sub>	2 <sub>1</sub>
3	(2,4) <sub>2</sub>	3 <sub>1</sub>	∅	3 <sub>1</sub>	8 <sub>3</sub>	8 <sub>3</sub>	2 <sub>2</sub>	2 <sub>2</sub>
4	4 <sub>1</sub>	(1,3) <sub>2</sub>	4 <sub>1</sub>	∅	8 <sub>4</sub>	8 <sub>4</sub>	2 <sub>3</sub>	2 <sub>3</sub>
5	(2,4) <sub>3</sub>	(3,8) <sub>2</sub>	5 <sub>1</sub>	3 <sub>2</sub>	∅	8 <sub>2</sub>	8 <sub>2</sub>	5 <sub>1</sub>
6	4 <sub>2</sub>	8 <sub>2</sub>	4 <sub>2</sub>	6 <sub>1</sub>	8 <sub>2</sub>	∅	8 <sub>2</sub>	6 <sub>1</sub>
7	2 <sub>3</sub>	8 <sub>2</sub>	2 <sub>3</sub> , 5 <sub>3</sub>	6 <sub>3</sub>	8 <sub>2</sub>	8 <sub>2</sub>	∅	7 <sub>1</sub>
8	2 <sub>2</sub>	8 <sub>1</sub>	(2,5) <sub>2</sub>	6 <sub>2</sub>	8 <sub>1</sub>	8 <sub>1</sub>	8 <sub>1</sub>	∅

### 3.2.2. Построение $\bar{P}(u)$ -таблицы SDSR-строки и ADSR-матрицы.

Построение  $\bar{P}(u)$ -таблицы для обратной проекции  $\bar{P}(u)$  графа, где ракурсная вершина  $u$  является конечной для всех остальных вершин графа, производится аналогично вышеописанному в подразделе 2.3.1. с заменой традиционного отношения смежности на обратное: вершина  $v$  смежна вершине  $u$ , если им инцидентно ненаправленное ребро или направленная из  $v$  в  $u$  дуга. Соответственно, выборку вершин, смежных  $v$ , следует осуществлять не из соответствующей ей  $i$ -й строки матрицы смежности графа, а из  $j$ -го ( $j = v$ ) столбца этой матрицы. В остальном порядок построения обратной проекции полностью идентичен описанному выше. Покажем это на примере все той же вершины  $u = 6$ .

1. Из 6-го столбца матрицы смежности табл. 1 определяем вершины, смежные вершине 6 (имеющие общие с ней ребра или направленные в нее дуги) — в нашем случае это единственная вершина 8:  $V_1(6) := 8$ . Соответственно, в 8-ю ячейку 1-й строки (1-й уровень обратной проекции), помещаем вершину 6, порождающую на 1-м уровне выстраиваемой проекции вершину 8:  $a_{1,8} := 6$ . Сформируем множество  $R_{1,8}$  уже используемых в маршруте

(8-6) вершин, и запрещенных к дальнейшему использованию в продлении этого маршрута<sup>1</sup>:  $R_{1,8} := \{6, 8\}$ . Проверяем полученную первую строку таблицы на условие вершинной полноты: как видим, столбцы с 1-го по 5-й, 7-й пока пусты, это же можно выяснить вычитанием множества  $R_{1,8}$  из множества  $V$  нашего графа:  $V' := V \setminus R_{1,8} = V \setminus \{6, 8\} = \{1, 2, 3, 4, 5, 7\} \neq \emptyset$ . Таким образом, полученная таблица пока не дает информации о кратчайших путях в вершину 6 из вершин множества  $V'$ , т. е. не обеспечивает вершинную полноту описания проекции  $\bar{P}(6)$ .

2. Формируем соответствующую 2-му уровню проекции  $\bar{P}(6)$  2-ю строку. Порождаемое на втором уровне единственной вершиной 8 первого уровня подмножество  $V_2 := V_2(8) = \mathcal{N}(8) \setminus R_{1,8} = \{2, 5, 6, 7\} \setminus \{6, 8\} = \{2, 5, 7\}$  (окружение  $\mathcal{N}(8)$  получено из 8-го столбца матрицы смежности, а подмножество  $R_{1,8}$  получено на 1-м шаге). Заполняем содержимое соответствующих  $V_2(8)$  ячеек  $a_{2,2}$ ,  $a_{2,5}$  и  $a_{2,7}$  ссылкой на порождающую их вершину 8 первого уровня проекции:  $a_{2,2} = a_{2,5} = a_{2,7} = 8$ . Корректируем множество "пустых" столбцов:  $V' := V' \setminus V_2(8) = \{1, 2, 3, 4, 5, 7\} \setminus \{2, 5, 7\} = \{1, 3, 4\} \neq \emptyset$ . Столбцы 1, 3 и 4 таблицы пока пусты, поэтому формируем множества запрещенных для использования маршрутов из вершин  $\{2, 5, 7\}$  2-го уровня проекции  $\bar{P}(6)$ :  $R_{2,2} := R_{1,8} \cup \{2\} = \{6, 8, 2\}$ ,  $R_{2,5} := R_{1,8} \cup \{5\} = \{6, 8, 5\}$ ,  $R_{2,7} := R_{1,8} \cup \{7\} = \{6, 8, 7\}$  и переходим к построению 3-го уровня проекции (3-й строки таблицы).

$$3. V_3(2) := \mathcal{N}(2) \setminus R_{2,2} = \{1, 3, 8\} \setminus \{6, 8, 2\} = \{1, 3\} \rightarrow a_{3,1} := 2, a_{3,3} := 2;$$

$$V_3(5) := \mathcal{N}(5) \setminus R_{2,5} = \{8\} \setminus \{6, 8, 5\} = \emptyset;$$

$$V_3(7) := \mathcal{N}(7) \setminus R_{2,7} = \{8\} \setminus \{6, 8, 7\} = \emptyset;$$

$$V' := V' \setminus V_2(8) = \{1, 3, 4\} \setminus \{1, 3\} = \{4\} \neq \emptyset$$

Как видим, обратные маршруты в вершину 6 не могут быть продлены из вершин 5 и 7 ( $V_3(5) = V_3(7) = \emptyset$ ), продлить маршруты можно только вершинами  $V_3(2) = \{1, 3\}$ . Остался пустым один лишь 4-й столбец ( $V' = \{4\}$ ), поэтому продолжим наращивать таблицу, продлевая маршруты вершинами из  $V_3 = \{1, 3\}$ .

$$4. V_4(1) := \mathcal{N}(1) \setminus R_{1,6} = \{2, 4\} \setminus \{1, 2, 8, 6\} = \{4\} \rightarrow a_{4,4} = 1;$$

$$V_4(3) := \mathcal{N}(3) \setminus R_{2,6} = \{2, 4, 5\} \setminus \{3, 2, 8, 6\} = \{4, 5\} \rightarrow a_{44} = a_{45} = 3;$$

$$V' := V' \setminus V_4 = V' \setminus \{V_4(1) \cup V_4(3)\} = \{4\} \setminus \{4, 5\} = \emptyset.$$

Итак, на четвертом шаге достигнута вершинная полнота  $\bar{P}(6)$ -таблицы ( $V' = \emptyset$ ), получен обратный эксцентриситет  $\bar{\varepsilon}(6) = 4$  ракурсной вершины 6 проекции  $\bar{P}(6)$  и определены все пути в эту вершину из всех остальных вершин рассматриваемого графа с длинами не превышающими ее обратного эксцентриситета.

Полученная для обратной проекции  $\bar{P}(6)$ -таблица приведена ниже:

<sup>1</sup> Простая цепь (простой маршрут) не содержит повторяющихся вершин, поэтому вершины, уже использованные в формировании рассматриваемого маршрута, являются недопустимыми.

$v_j$ № уровня	1	2	3	4	5	6	7	8
4	∅	∅	∅	3, 1	3	∅	∅	∅
3	2	∅	2	∅	∅	∅	∅	∅
2	∅	8	∅	∅	8	∅	8	∅
1	∅	∅	∅	∅	∅	∅	∅	6

Для исключения из таблицы избыточных путей, не являющихся кратчайшими, сожжем ее в одну SDSR-строку описанным в подразделе 3.2.1. способом:

	1	2	3	4	5	6	7	8
6	2 <sub>3</sub>	8 <sub>2</sub>	2 <sub>3</sub>	1 <sub>4</sub> , 3 <sub>4</sub>	8 <sub>2</sub>	∅	8 <sub>2</sub>	6 <sub>1</sub>

Построив таким же образом  $\bar{P}(u)$ -таблицы для остальных вершин (см. приложение П2), объединим их в ADSR-матрицу, определяющую кратчайшие пути для всех мест назначения (конечных вершин) в графе:

Таблица 5. ADSR-матрица смешанного графа

$v_j$ $v_i$	1	2	3	4	5	6	7	8
1	∅	1 <sub>1</sub>	2 <sub>2</sub> , 4 <sub>2</sub>	1 <sub>1</sub>	3 <sub>3</sub> , 8 <sub>3</sub>	4 <sub>2</sub>	8 <sub>3</sub>	2 <sub>2</sub>
2	2 <sub>1</sub>	∅	2 <sub>1</sub>	1 <sub>2</sub> , 3 <sub>2</sub>	3 <sub>2</sub> , 8 <sub>2</sub>	8 <sub>2</sub>	8 <sub>2</sub>	2 <sub>1</sub>
3	2 <sub>2</sub> , 4 <sub>2</sub>	3 <sub>1</sub>	∅	3 <sub>1</sub>	3 <sub>1</sub>	4 <sub>2</sub>	8 <sub>3</sub>	2 <sub>2</sub> , 5 <sub>2</sub>
4	4 <sub>1</sub>	1 <sub>2</sub> , 3 <sub>2</sub>	4 <sub>1</sub>	∅	3 <sub>2</sub>	4 <sub>1</sub>	8 <sub>3</sub>	6 <sub>2</sub>
5	2 <sub>3</sub>	8 <sub>2</sub>	2 <sub>3</sub>	1 <sub>4</sub> , 3 <sub>4</sub>	∅	8 <sub>2</sub>	8 <sub>2</sub>	5 <sub>1</sub>
6	2 <sub>3</sub>	8 <sub>2</sub>	2 <sub>3</sub>	1 <sub>4</sub> , 3 <sub>4</sub>	8 <sub>2</sub>	∅	8 <sub>2</sub>	6 <sub>1</sub>
7	2 <sub>2</sub>	7 <sub>1</sub>	2 <sub>2</sub>	1 <sub>3</sub> , 3 <sub>3</sub>	8 <sub>2</sub>	8 <sub>2</sub>	∅	7 <sub>1</sub>
8	2 <sub>2</sub>	8 <sub>1</sub>	2 <sub>2</sub>	1 <sub>3</sub> , 3 <sub>3</sub>	8 <sub>1</sub>	8 <sub>1</sub>	8 <sub>1</sub>	∅

#### 4. Поиск кратчайших путей в невзвешенном смешанном графе

Проекция графа, представленные в подразделах 3.2.1 и 3.2.2 в виде таблиц, строк и матриц, содержат не просто необходимую для поиска кратчайших путей информацию, а прямую информацию об этих путях. При этом табличные формы описания проекции ( $P(u)$ - и  $\bar{P}(u)$ -проекции) с числом строк, равным числу уровней в ней, для достижения поставленной нами цели определения кратчайших путей в невзвешенном (или кратчайших маршрутов во взвешенном) графе обладают некоторой избыточностью, поскольку содержат информацию не только о кратчайших, но и обо всех простых (из ракурсной вершины —  $P(u)$ - или в ракурсную вершину —  $\bar{P}(u)$ -проекция) путях с длиной, не превышающей соответствующего этим проекциям прямого или обратного эксцентриситета ракурсной вершины. Поэтому для поиска кратчайших путей в невзвешенном смешанном графе (или кратчайших маршрутов во взвешенных графов) достаточно использовать сжатые до одной строки варианты проекций<sup>1</sup> — SSSR- и SDSR-строки.

В данном разделе будет определен порядок использования проекций невзвешенного смешанного графа на типовых задачах о кратчайшем пути.

<sup>1</sup> В данной работе табличные описания проекций востребованы лишь как промежуточные между исходной матрицей смежности графа и соответствующими проекциям строками, однако в поиске кратчайших путей во взвешенных графах эти (табличные) описания будут необходимы.

#### 4.1.SPSP-задача (задача поиска однопарного кратчайшего пути).

"Single-Pair Shortest Path"-задача является базовой для всех остальных задач о кратчайшем пути в графе, решение которых может быть сведено к последовательному решению SPSP-задачи для любого подмножества заданных из множества всех пар вершин. Обычно эта задача предполагает поиск кратчайшего пути между двумя вершинами  $u, v \in V$  неориентированного невзвешенного графа  $G(V, E)$ , когда кратчайший из  $u$  в  $v$   $(u-v)_\delta$ -путь совпадает с инвертированным из  $v$  в  $u$  кратчайшим  $(\overline{v-u})_\delta$ -путем. Понятно при этом, что расстояния от  $u$  до  $v$  и от  $v$  до  $u$  в также совпадают:  $d(u, v) = d(v, u)$ . Но в рассматриваемом здесь смешанном графе, где присутствуют и ненаправленные ребра, и дуг, каждой паре  $\{u, v\}$  вершин соответствует пара кратчайших между ними неравнозначных путей  $(u-v)_\delta$  и  $(v-u)_\delta$ , которые и должны быть определены в рамках задачи поиска однопарных кратчайших путей. Для ее решения мы будем использовать соответствующие прямым  $P(u)$  и обратным  $\overline{P}(u)$  проекциям SSSR- и SDSR-строки.

##### 4.1.1. Получение однопарного кратчайшего маршрута $(u-v)$ .

Для получения кратчайшего маршрута из заданной вершины  $u$  в любую другую вершину  $v$  графа в каждом узле исследуемой сети достаточно хранить лишь одну, соответствующую  $u$  и состоящую из  $n = |V|$  элементов SSSR-строку. Суть поиска состоит при этом в последовательной, начиная с конечной вершины  $v$ , выборке из SSSR-строки вершин, предшествующих выбранной в предыдущей итерации вершине, пока предшествующей вершиной не станет начальная вершина  $u$ . Итак,  $u$  и  $v$  – начальная и конечная вершины кратчайшего маршрута  $(u-v)$ ,  $j$  – адрес выбираемой на каждом шаге ячейки SSSR-строки проекции  $P(u)$ . Присваиваем  $j := v$ ,  $(u-v)_\delta := (u, \dots, v)$ . Если содержимое  $j$ -й ячейки  $a_j = u$ , то построение маршрута закончено,  $(u-v)_\delta = (u, v)$  и  $d(u, v) = 1$ . Иначе,  $(u-v)_\delta := (u, \dots, a_j, v)$ ; назначаем конечной  $v$  вершиной вершину  $a_j$  ( $v := a_j$ ) и повторяем процедуру, пока не достигнем начальной вершины  $u$ . Понятно, что число итераций при этом определяется длиной маршрута и не превышает эксцентриситета  $\varepsilon(u)$ .

Поясним это примером определения кратчайшего пути (маршрута) из вершины 6 в вершину 4: содержимое 4-й ячейки SSSR<sub>6</sub>-строки  $a_4 = 6$ , поэтому  $(6-4) = (6, 4)$  и  $\delta(6-4) = 1$ .

Кратчайший обратный (из  $v$ -й в  $u$ -ю вершину)  $(\overline{u-v})_\delta$ -маршрут можно получить в узле сети, соответствующем вершине  $v$  и хранящем SSSR <sub>$v$</sub> -строку, однако, чтобы иметь в узле  $u$  информацию и о прямом (из  $u$  в  $v$ ), и об обратном (из  $v$  в  $u$ ) маршрутах, достаточно хранить в нем SSSR <sub>$u$</sub>  и SDSR <sub>$u$</sub>  строки проекций  $P(v)$  и  $\overline{P}(u)$ , соответственно. В 4.1.2. рассмотрены оба этих варианта.

##### 4.1.2. Получение обратного (в $u$ из $v$ ) кратчайшего маршрута $(\overline{u-v})_\delta = (v-u)_\delta$ .

4.1.2.1. При использовании SSSR <sub>$v$</sub> -строки определение кратчайшего маршрута полностью аналогично описанному выше (см. 4.1.1.). Для рассмотренного выше примера ( $u = 6, v = 4$ ) используем взятую из APSR-матрицы SSSR<sub>4</sub>-строку:  $j := 6, (4-6)_\delta := (4, \dots, 6)$ ;

1)  $a_j = a_6 = 8 \neq 4, (4-6)_\delta := (4, \dots, 8, 6), j := 8$ ;

2)  $a_j = a_8 = 2 \neq 4, (4-6)_\delta := (4, \dots, 2, 8, 6), j := 2$ ;

3)  $a_j = a_2 = 1 \vee 3 \neq 4$ . Здесь выбор  $a_2 = 1$  или  $a_2 = 3$  может быть произвольным (длина кратчайшего маршрута от выбора не зависит) или приоритетным в соответствии с заданными правилами. Мы выбираем здесь  $a_2 := 1$ , тогда  $(4-6)_\delta := (4, \dots, 1, 2, 8, 6), j = 1$ ;

4)  $a_j = a_1 = 4 = v, (4-6)_\delta := (4, 1, 2, 8, 6), \delta(4-6) := 4$ .

Маршрут  $(\overline{6-4})_\delta$  найден:  $(\overline{6-4})_\delta := (4-6)_\delta = (\overline{6, 8, 2, 1, 4}), \delta(\overline{6-4}) := 4$

4.1.2.2. При использовании SDSR<sub>6</sub>-строки:  $j := 4, (\overline{6-4})_\delta := (4, \dots, 6)$ ;

- 1)  $a_j = a_4 = 1 \vee 3 \neq 6$ . Как и в 4.1.2.1. выбираем  $a_4 = 1$ , тогда  $(\overline{6-4})_\delta := (4, 1, \dots, 6)$ ,  $j = 1$ ;
- 2)  $a_j = a_1 = 2 \neq 6$ ,  $(\overline{6-4})_\delta := (4, 1, 2, \dots, 6)$ ,  $j = 2$ ;
- 3)  $a_j = a_2 = 8 \neq 6$ ,  $(\overline{6-4})_\delta := (4, 1, 2, 8, \dots, 6)$ ,  $j = 8$ ;
- 4)  $a_j = a_8 = 6 = u$ ,  $(\overline{6-4})_\delta := (4, 1, 2, 8, 6)$ ,  $\delta(\overline{6-4}) := 4$ , что совпадает с результатом из 4.1.2.1.

#### 4.1.3. Асимптотическая сложность решения SPSP-задачи.

Обобщая изложенную в подразделе 4.1 информацию, можно утверждать, что пространственная сложность поиска кратчайшего пути из вершины  $u$  в вершину  $v$  имеет линейный порядок роста  $S(n) = O(n)$ , тогда как временная  $T(n)$  сложность определяется расстоянием  $d(u, v)$  из  $u$  в  $v$  и не превышает эксцентриситета вершины-источника  $\varepsilon(u)$ :  $T(n) = O(\varepsilon(u))$ . Эксцентриситет  $\varepsilon(u)$  любой вершины  $v \in V$  графа  $G(V, E)$  не превышает его диаметра  $D(G)$ , который зависит не только от размера — числа вершин  $n = |V|$ , но и определяемого описанием графа  $G$  способа соединения вершин и их степени, поэтому  $T(n) = O(D(G, n, s))$ .

Из множества  $G_n$  всех невзвешенных графов размера  $n = |V|$  наихудшие для их диаметров  $D(G_n)$  случаи могут быть отнесены к неориентированному линейному  $L_n$  или к кольцевому смешанному графу с одним ориентированным ребром. Для таких графов время поиска кратчайших маршрутов  $T(n) = O(D(L_n)) = O(n)$ . Наилучший же случай соответствует неориентированному по определению полному  $K_n$ -графу, диаметр  $D(K_n)$  которого равен единице при любом значении  $n$ . Таким образом,  $T(n) = \Omega(D(K_n)) = \Omega(1)$ . Однако, в практике поиска кратчайших маршрутов оба эти случая не имеют смысла, так как кратчайшие пути для любой пары вершин в таких графах predeterminedены самими графами и посему не требуют поиска. В общем же случае, исключая эти графы из множества  $G_n$ , асимптотическая оценка сложности поиска кратчайших маршрутов может изменяться в довольно широком диапазоне от  $T(n) = \omega(1)$  до  $T(n) = o(n)$ , что существенно меньше сложности, например, алгоритма поиска в ширину (BFS) определяемой как  $O(n + m)$ , где  $n$  - количество вершин,  $m$  - количество ребер.

Хотя предельные значения  $D(G_n)$  (а следовательно, и  $T(n)$ ) для любого из подмножеств множества всех графов размера  $n = |V|$  находятся указанном промежутке, для каждого из них асимптотический диапазон будет существенно меньше и обусловлен определяющими это подмножество метриками: регулярностью или распределением степеней в графах этого подмножества, наличием/отсутствием в них неориентированных и ориентированных ребер, плотностью/разреженностью и т.п. Компактность (минимальность диаметра  $D(n, s)$ ), например,  $s$ -регулярных ( $2 < s < n - 1$ ) графов порядка  $n$  обусловлена выражением [18, 35]:

$$1 + s \sum_{i=1}^{D(n,s)-1} (s-1)^{i-1} < n \leq 1 + s \sum_{i=1}^{D(n,s)} (s-1)^{i-1}. \quad (1)$$

Так как алгебраические суммы в этом выражении — геометрические прогрессии с первым членом, равным единице, и знаменателем, равным  $(s - 1)$ , то<sup>1</sup>:

$$1 + s((s-1)^{(D-2)} - 1) / (s-2) < n < s((s-1)^{(D-1)} - 1) / (s-2)$$

Рассмотрим это неравенство как два отдельных:

- 1)  $1 + s((s-1)^{(D-2)} - 1) / (s-2) < n$ ,
- 2)  $n < s((s-1)^{(D-1)} - 1) / (s-2)$ .

Из первого получим:

$$D < 2 + (\log(1 + (n-1) \cdot (s-2)) - \log s) / \log(s-1)$$

<sup>1</sup> Для простоты восприятия здесь и далее возможно использование обозначения  $D$  вместо  $D(n, s)$ .

и, считая  $s$  константой из промежутка  $2 < s < n - 1$ ,

$$D(n, s) = O(D(n, s)) = O(\log n / \log s).$$

Из второго неравенства следует:

$$D(n, s) = \Omega(D(n, s)) = \Omega(\log n / \log s).$$

Тогда,  $D(n, s) = \Theta(\log n / \log s)$  и

$$T(n, s) = \Theta(\log n / \log s)$$

Таким образом, мы можем сделать вывод, что сложность поиска кратчайших путей  $T(n, s)$  является логарифмической функцией по основанию  $s$ . Рост этой сложности прямо зависит от  $\log n$  и обратно пропорционален  $\log s$ . Это означает, что увеличение плотности графа существенно снижает трудоемкость поиска, что является одним из главных преимуществ использования компактных топологий в проектировании крупномасштабных вычислительных сетей, систем и суперкомпьютеров. Для сравнения: BFS-алгоритм, примененный к рассмотренным здесь компактным графам имеет сложность  $O(n + m) = O(n + n \cdot s / 2) = O(n \cdot s)$ , что существенно превышает  $\Theta(\log n / \log s)$ .

Аналогично может быть проанализирована асимптотика сложности изложенного здесь метода решения SPSP-задачи для графов любого класса, но рост асимптотической сложности  $T(n, s)$  при этом всегда будет меньше линейного.

#### 4.2. SSSR-задача (поиск кратчайших маршрутов из одного источника)

Поиск всех кратчайших путей из вершины  $u$  в худшем своем варианте<sup>1</sup> может осуществляться поочередным применением описанной в 4.1.1. процедуры для каждой пары  $(u, v | v \in V \setminus \{u\})$  вершин, что не требует дополнительных пояснений. Время поиска всех кратчайших путей из одной вершины при этом обычно определяют суммой длин всех кратчайших путей из этой вершины. Наихудшим и наилучшим в отношении времени поиска графами из всего множества связных графов размере  $n$  являются уже упомянутые ранее линейный  $L_n$ -граф и полный  $K_n$ -граф, наибольшая сумма длин кратчайших маршрутов  $S_n$  в которых составляет соответственно:  $S_n(L_n) = n(n - 1) / 2$  и  $S_n(K_n) = n$ . Тогда верхней и нижней оценками асимптотической сложности для множества всех  $G_n$ -графов являются  $O(n^2)$  и  $\Omega(n)$ .

Для рассмотренного же в подразделе 4.1.3. класса компактных графов верхняя оценка сложности, без учета того, что равным диаметру  $D(n, s) = \Theta(\log n / \log s)$  расстоянием от вершины-источника  $u$  обладает лишь некоторая часть из нее или в нее путей, составит (при условии, что  $s$  — константа в пределах от  $s = 3$  до  $s = n - 2$ ):

$$T(n, s) = o(n \cdot \Theta(\log n / \log (s - 1))) = o(n(\log n / \log s)).$$

На самом же деле, определяющая сложность этой задачи сумма длин всех кратчайших путей из одного источника  $S_n(u)$  будет существенно меньше, чем  $n \cdot D(n, s)$ .

Пусть эксцентриситет  $\varepsilon(u)$  вершины  $u$ , рассматриваемой в SSSP-задаче в качестве источника, равен диаметру графа  $D$ :  $\varepsilon(u) = D$ . Тогда сумма  $S_n(u)$  длин всех кратчайших из вершины  $u$  путей<sup>2</sup> определится выражением:

$$S_n(u) = \sum_{i=1}^D i \cdot n_i.$$

Здесь  $i$  — номер уровня проекции  $P(u)$ , он же — длина кратчайшего пути для всех, расположенных на нем, оригинальных вершин;  $n_i$  — число таких вершин на  $i$ -м уровне, причем  $n_1 + n_2 + \dots + n_D = n$ . Раскроем эту сумму:

$$S_n(u) = 1 \cdot n_1 + 2 \cdot n_2 + \dots + D \cdot n_D.$$

<sup>1</sup> Не исключаящем из пространства каждого нового поиска найденные ранее кратчайшие пути.

<sup>2</sup> Напоминаем, что в данной статье мы рассматриваем невзвешенные графы, поэтому понятия кратчайших путей и кратчайших маршрутов здесь эквивалентны.

Понятно, что минимальной эта сумма будет, когда число вершин на каждом уровне проекции  $P(u)$  определяется следующим образом:  $n_{i < D} = s \cdot (s - 1)^{i-1}$ ,  $n_D = 1$ . Тогда

$$S(u) = \sum_{i=1}^D i \cdot n_i = s \sum_{i=1}^{D-1} i \cdot (s-1)^{i-1} + D$$

Максимальной же эта сумма будет, когда число вершин на каждом уровне проекции  $P(u)$  определяется следующим образом:  $n_{i \leq D} = s \cdot (s - 1)^{i-1}$ :

$$S(u) = \sum_{i=1}^D i \cdot n_i = s \sum_{i=1}^D i \cdot (s-1)^{i-1}.$$

Тогда

$$s \sum_{i=1}^{D-1} i \cdot (s-1)^{i-1} + s \cdot D \leq S(u) \leq s \sum_{i=1}^D i \cdot (s-1)^{i-1}.$$

$$s \cdot (1 + 2(s-1) + \dots + (D-1)(s-1)^{D-2} + D) \leq S(u) \leq s \cdot (1 + 2(s-1) + \dots + D(s-1)^{D-1})$$

В суммах левой и правой частей неравенства наиболее значимыми членами являются  $(D-1)(s-1)^{D-2}$  и  $D(s-1)^{D-1}$ , соответственно. Таким образом, нижней и верхней оценками  $S(u)$  являются:

$$\Omega(S_n(u)) = \Omega(s((D-1)(s-1)^{D-2})) \text{ и } O(S_n(u)) = O(s(D(s-1)^{D-1})).$$

Заменив в полученных выражениях  $S_n(u)$  на  $T(n, s)$  и  $D$  на полученное выше значение  $D(n, s) = \Theta(\log n / \log s)$  и учитывая, что  $\Theta(\log n / \log s)$  и  $\log n / \log s$  имеют одинаковую асимптотическую сложность, получим:

$$\Omega(T(n, s)) = \Omega(s \cdot (\log n / \log s - 1) \cdot (s-1)^{(\log n / \log s) - 2}),$$

$$O(T(n, s)) = O(s \cdot \log n / \log s \cdot (s-1)^{(\log n / \log s) - 1}).$$

Упростив выражения для  $\Omega$ - и  $O$ -сложности поиска, получим:

$$\Omega(T(n, s)) = \Omega((\log n / \log s) \cdot (s-1)^{\log n / \log s - 1}),$$

$$O(T(n, s)) = O((\log n / \log s) \cdot (s-1)^{\log n / \log s}).$$

Несложно убедиться в том, что асимптотическая сложность  $O(T(n, s))$  предложенного метода решения SSSP-задачи существенно ниже полученной нами грубой оценки  $o(n \cdot \log n / \log s)$  и ниже сложности BFS-алгоритма  $O(n + m) = O(n \cdot s)$ .

4.3. SDSR-задача (поиск кратчайших маршрутов с одним местом назначения).

Решение этой задачи и ее сложность аналогичны изложенным в 4.2. решению и сложности SSSR-задачи, но базовой операцией при этом является получение обратного (в  $u$  из  $v$ ) кратчайшего маршрута  $(\overline{u-v})_s = (v-u)_s$  (см. подраздел 4.1.2.).

4.4. ASSR-задача (поиск кратчайших маршрутов для всех источников).

Решение этой задачи для основывается на  $n$ -кратном решении SSSR-задачи. Соответственно и сложность ее увеличивается в  $n$  раз: для компактных графов, например,  $O(T(n, s)) = O(n \cdot (\log n / \log s) \cdot (s-1)^{\log n / \log s})$ , тогда как сложность ASSP-задачи для невзвешенных графов, решаемой с помощью алгоритма Дейкстры, составляет  $O(n^2)$ , а с помощью алгоритма Флойда-Уоршелла —  $O(n^3)$ .

4.5. ADSR-задача (поиск кратчайших путей для всех мест назначения).

Решение этой задачи для основывается на  $n$ -кратном решении SDSR-задачи, а сложность ее аналогична приведенной в 4.4. сложности ASSR-задачи.

## 5. Заключение

Первоначальный замысел в написании этой статьи состоял в разработке способа представления проекций графа в памяти компьютера для формального метода синтеза оптимальных топологий вычислительных систем, предложенного в [18], где формальное описание этих проекций не давало представления о том, как их вложить в память компьютера для алгоритмизации метода. Однако, когда такой способ был разработан,

оказалось, что в сравнении со структурами данных, основанными на элементарных отношениях смежности вершин или инцидентности ребер, он намного более информативен и при сопутствующей этому лаконичности применение его будет более эффективным в любых графовых приложениях.

Проекция графа по определению содержит в себе всю необходимую и достаточную информацию обо всех кратчайших маршрутах (для невзвешенных графов — о кратчайших путях) из ракурсной вершины проекции во все остальные вершины связанного графа, достаточно лишь извлечь ее; обратная проекция, соответственно — в ракурсную вершину проекции из всех остальных вершин. Из проекций графа можно в явном виде извлечь и его метрические характеристики такие как, например, эксцентриситеты каждой вершины, диаметр графа и другие.

Поэтому мы отошли от первоначальной постановки, связанной только с информационно-сетевыми и суперкомпьютерными приложениями, и расширили рассматриваемый в статье класс невзвешенных связанных графов до имеющих большее распространение смешанных графов, содержащих и неориентированные, и ориентированные ребра (дуги). Мы также рассмотрели проблему поиска кратчайших путей в таких графах, предложили соответствующий метод и дали асимптотические оценки его пространственной сложности и трудоемкости для типовых задач поиска.

Результаты исследования показывают, что разработанный способ представления проекций графа в памяти компьютера имеет широкий потенциал применения в различных графовых приложениях, а предложенный метод поиска кратчайших путей является эффективным и может быть использован для решения не только информационно-сетевых, но других научно-технических, транспортно-логистических и хозяйственно-экономических задач.

В результате наших исследований, мы получили новый метод поиска кратчайших маршрутов в невзвешенных смешанных графах, который может быть применен в различных областях. Основанный на проективном описании графов, этот метод предоставляет эффективные решения не только для оптимизации маршрутов и информационных обменов, он может быть также использован в транспортно-логистических системах и других подобных приложениях. В заключение, хотелось бы отметить, что существует множество возможностей для алгоритмизации данного метода, однако целью наших дальнейших исследований является его распространение на взвешенные графы. Мы надеемся, что эти и последующие наши научные исследования, связанные с проективным описанием графов и использованием его в теоретических и практических графовых задачах, будут полезны для широкого круга соответствующих специалистов.

### **Список литературы**

1. Schrijver A. On the history of the shortest path problem //Documenta Mathematica. – 2012. – Т. 17. – №. 1. – С. 155-167.
2. [https://www.cantab.net/users/michael.behrend/repubs/maze\\_maths/pages/wiener\\_en.html](https://www.cantab.net/users/michael.behrend/repubs/maze_maths/pages/wiener_en.html) (доступ 07.02.2023)
3. Wiener C. Ueber eine Aufgabe aus der Geometria situs //Mathematische Annalen. – 1873. – Т. 6. – №. 1. – С. 29-30.
4. 'E. Lucas, R'ecr'ecations math'ematiques, deuxi'eme 'edition, Gauthier-Villars, Paris, 1882–1883  
[https://archive.org/download/recreationmatedou02lucarich/recreationmatedou02lucarich\\_bw.pdf](https://archive.org/download/recreationmatedou02lucarich/recreationmatedou02lucarich_bw.pdf)

5. G. Tarry, Le probl`eme des labyrinthes, *Nouvelles Annales de Math´ematiques* (3) 14 (1895) 187–190 [English translation in: N.L. Biggs, E.K. Lloyd, R.J. Wilson, *Graph Theory 1736–1936*, Clarendon Press, Oxford, 1976, pp. 18–20].
6. Kruskal J. B. On the shortest spanning subtree of a graph and the traveling salesman problem //Proceedings of the American Mathematical society. – 1956. – Т. 7. – №. 1. – С. 48-50. <https://www.jstor.org/stable/2033241>
7. L.R. Ford, Jr, *Network Flow Theory*, Paper P-923, The RAND Corporation, Santa Monica, California, [August 14], 1956.
8. R. Bellman, On a routing problem, *Quarterly of Applied Mathematics* 16 (1958) 87–90.
9. G.B. Dantzig, On the Shortest Route through a Network, Report P-1345, The RAND Corporation, Santa Monica, California, [April 12] 1958 [Revised April 29, 1959] [published in *Management Science* 6 (1960) 187–190].
10. C. Berge, *Th´eorie des graphes et ses applications*, Dunod, Paris, 1958.
11. Dijkstra E. W. A note on two problems in connexion with graphs:(*Numerische Mathematik*, 1 (1959), p 269-271). – 1959.
12. Moore E. F. The shortest path through a maze //Proc. Int. Symp. Switching Theory, 1959. – 1959. – С. 285-292.
13. Ye Wang. 2021. Exploring Shortest Paths on Large-Scale Networks. Master's thesis. The Australian National University (Australia). Advisor(s) Wang, Qing. Order Number: AAI29100155.
14. Ahuja R. K., Magnanti T. L., Orlin J. B. *Network flows*. – 1988.
15. Madkour A. et al. A survey of shortest-path algorithms //arXiv preprint arXiv:1705.02044. – 2017.
16. Kumawat S., Dudeja C., Kumar P. An Extensive Review of Shortest Path Problem Solving Algorithms //2021 5th International Conference on Intelligent Computing and Control Systems (ICICCS). – IEEE, 2021. – С. 176-184.
17. Panda M., Mishra A. A survey of shortest-path algorithms //International Journal of Applied Engineering Research. – 2018. – Т. 13. – №. 9. – С. 6817-6820.
18. Melent'ev V.A. Formal method for the synthesis of optimal topologies of computing systems based on the projective description of graphs //The Journal of Supercomputing. – 2022. – Т. 78. – №. 12. – С. 13915-13941. <https://doi.org/10.1007/s11227-022-04421-7>
19. Т. Кормен, Ч. Лейзерсон, Р. Ривест, К. Штайн. Алгоритмы: построение и анализ, 3-е изд. — М.: Издательский дом “Вильямс”, 2013. 1324 с. (Thomas Cormen, Charles Leiserson, Ronald Rivest and Clifford Stein. *Introduction to algorithms*. 3rd ed. The MIT Press: One Rogers Street, Cambridge, MA 02142-1209. 2009. 1292 pp.)
20. В. А. Мелентьев Скобочная форма описания графов и ее использование в структурных исследованиях живучих вычислительных систем //Автометрия. – 2000. – Т. 38. – №. 4. – С. 36-52.
21. Melent'ev V.A. The bracket Pattern of a Graph //The 6th International Conference on Pattern Recognition and Image Analysis: New Information Technologies, PRIA-6-2002. – 2002. – С. 57 61.
22. В.А. Мелентьев Формальные основы скобочных образов в теории графов //Труды Второй Междунар. конф. Параллельные вычисления и задачи управления РАСО. – 2004. – С. 694-706. (Melent'ev V. A. The formal rudiments of a bracket patterns' in graph theory //Proceedings of the II International Conference" Parallel Computations and Control Problems" РАСО. – 2004. – С. 694-706.)
23. Мелентьев В.А. Формальный подход к исследованию структур вычислительных систем //Вестник Томского государственного университета. – 2005. – №. S14. – С. 167-172.  
<https://vital.lib.tsu.ru/vital/access/services/Download/vtls:000211217/SOURCE1>
24. Мелентьев В.А. Актуализация описаний и реконфигурация отказоустойчивых систем //Труды III Международной конференции «Параллельные вычисления и

- задачи управления» РАСО'. – 2006. – С. 785. (Melent'ev V.A. (2006). Descriptions updating and reconfiguration of the fault-tolerant systems //II International Conference "Parallel Computations and Control Problems" in memory of I.V. Prangishvili at: Moskow, Russia October 2006.
25. . Мелентьев В.А. Аналитический подход к синтезу регулярных графов с заданными значениями порядка, степени и обхвата //Прикладная дискретная математика. – 2010. – №. 2 (8). – С. 74-86. (Melent'ev V.A. An analytical approach to the synthesis of regular graphs with preset values of the order, degree and girth //Prikl. Diskr. Mat. – 2010. – №. 2(8). – С. 74-86. DOI: 10.17223/20710410/8/8
  26. Мелентьев В.А. Проективное описание графа вычислительной системы и его минимизация //Материалы XIII Международной научно-технической конференции" ИТ-технологии: развитие и приложения, Владикавказ, 2012. – 2012. – С. 278-290.
  27. Харари Ф. Теория графов. Изд-во "Мир", М., 1973. 302 с. (F. Harary, "Graph Theory," Addison-Wesley Publishing Company, Boston, 1969.)
  28. Zadorozhny A.F., Melent'ev V.A. On the topological compatibility of parallel tasks and computing systems //International Journal of Modern Physics C. – 2022. – Т. 33. – №. 03. – С. 2250040.  
<https://doi.org/10.1142/S0129183122500401>
  29. Мелентьев В.А. Метрика, цикломатика и синтез топологии систем и сетей связи //Труды шестой Международной конференции «Параллельные вычисления и задачи управления РАСО'2012, Москва, 24–26 октября 2012». – 2012. – С. 10–25.
  30. Мелентьев В.А. Компактные структуры вычислительных систем и их синтез //Управление большими системами: сборник трудов. – 2011. – №. 32. – С. 241-261. (V.A. Melentev Compact structures of computer systems and their synthesis //Upravlenie Bol'shimi Sistemami. – 2011. – Т. 32. – С. 241-261.)
  31. В.А. Мелентьев Скобочная форма описания графов и ее использование в структурных исследованиях живучих вычислительных систем //Автометрия. – 2000. – Т. 38. – №. 4. – С. 36-52. (V.A. Melentiev The bracket form of graph description and its use in structural investigation of robust computer systems //Optoelectronics Instrumentation and Data Processing. – 2000. – 4. – P. 34–47).
  32. V.A Melent'ev The bracket Pattern of a Graph //Proceedings of the 6th International Conference on Pattern Recognition and Image Analysis: New Information Technologies, PRIA-6-2002, October 21-26. – 2002. – Velikiy Novgorod, Russian Federation. – P. 57–61.
  33. Мелентьев В.А. Формальные основы скобочных образов в теории графов //Параллельные вычисления и задачи управления: Труды II Международной конференции, памяти Е. Г. Сухова, Москва, 04–06 октября 2004 года /Институт проблем управления им.В.А. Трапезникова РАН. – Москва: Институт проблем управления им. В.А. Трапезникова РАН, 2004. – С. 694-706. (V.A. Melent'ev The formal rudiments of a bracket patterns' in graph theory //Proceedings of the II International Conference "Parallel Computation and Control Problems" РАСО'2004, October 4-6 2004: Moscow, Russia. ICS RAS. – P. 694–706. (In Russ.))
  34. V.A. Melent'ev On the quick search for the shortest paths in an unweighted dynamic graph by its projections in brief. <https://arxiv.org/abs/2206.03757v2> doi: 10.48550/arXiv.2206.03757
  35. Мелентьев В. А. Компактные структуры вычислительных систем и их синтез //Управление большими системами: сборник трудов. – 2011. – №. 32. – С. 241-261. (Melent'ev VA Compact structures of computer systems and their synthesis. In: J. Large-Scale Systems Control. 32 (2011), 241-261.  
[http://ubs.mtas.ru/archive/search\\_results\\_new.php?publication\\_id=18577](http://ubs.mtas.ru/archive/search_results_new.php?publication_id=18577) (in Russ.).

### Приложение III

Каждая из  $n = |V| = 8$  представленных здесь таблиц объединяет в себе  $P(u)$ -таблицу (пронумерованные строки), определяющую все простые маршруты из вершины  $u$  с длиной, не превышающей ее эксцентриситета  $e(u)$ , и полученную из этой таблицы SSSR-строку (серая заливка), определяющую только кратчайшие маршруты из ракурсной вершины  $u$  (соответствующий ей столбец с пустым содержимым также залит серым цветом).

$v_j$ № уровня	1	2	3	4	5	6	7	8
3	∅	3	∅	3	8	8	8	7
2	∅	∅	2, 4	∅	∅	∅	2	2
1	∅	1	∅	1	∅	∅	∅	∅
	∅	1 <sub>1</sub>	2 <sub>2</sub> , 4 <sub>2</sub>	1 <sub>1</sub>	8 <sub>3</sub>	8 <sub>3</sub>	2 <sub>2</sub>	2 <sub>2</sub>

$v_j$ № уровня	1	2	3	4	5	6	7	8
2	∅	∅	∅	1, 3	8	8	8	7
1	2	∅	∅	∅	∅	∅	2	2
	2 <sub>1</sub>	∅	2 <sub>1</sub>	1 <sub>2</sub> , 3 <sub>2</sub>	8 <sub>2</sub>	8 <sub>2</sub>	2 <sub>1</sub>	2 <sub>1</sub>

$v_j$ № уровня	1	2	3	4	5	6	7	8
3	∅	1	∅	1	8	8	8	7
2	2, 4	∅	∅	∅	∅	∅	2	2
1	∅	3	∅	3	∅	∅	∅	∅
	2 <sub>2</sub> , 4 <sub>2</sub>	3 <sub>1</sub>	∅	3 <sub>1</sub>	8 <sub>3</sub>	8 <sub>3</sub>	2 <sub>2</sub>	2 <sub>2</sub>

$v_j$ № уровня	1	2	3	4	5	6	7	8
4	∅	∅	∅	∅	8	8	8	7
3	2	∅	2	∅	∅	∅	2	2
2	∅	1, 3	∅	∅	∅	∅	∅	∅
1	4	∅	4	∅	∅	∅	∅	∅
	4 <sub>1</sub>	1 <sub>2</sub> , 3 <sub>2</sub>	4 <sub>1</sub>	∅	8 <sub>4</sub>	8 <sub>4</sub>	2 <sub>3</sub>	2 <sub>3</sub>

$v$ № уровня	1	2	3	4	5	6	7	8
3	2, 4	∅	2	6	∅	∅	2	2
2	∅	3, 8	∅	3	∅	8	8	∅
1	∅	∅	5	∅	∅	∅	∅	5
	2 <sub>3</sub> , 4 <sub>3</sub>	3 <sub>2</sub> , 8 <sub>2</sub>	5 <sub>1</sub>	3 <sub>2</sub>	∅	8 <sub>2</sub>	8 <sub>2</sub>	5 <sub>1</sub>

<b>№ уровня</b> \ $v_j$	<b>1</b>	<b>2</b>	<b>3</b>	<b>4</b>	<b>5</b>	<b>6</b>	<b>7</b>	<b>8</b>
<b>2</b>	4	8	4	∅	8	∅	8	∅
<b>1</b>	∅	∅	∅	6	∅	∅	∅	6
	4 <sub>2</sub>	8 <sub>2</sub>	4 <sub>2</sub>	6 <sub>1</sub>	8 <sub>2</sub>	∅	8 <sub>2</sub>	6 <sub>1</sub>

<b>№ уровня</b> \ $v$	<b>1</b>	<b>2</b>	<b>3</b>	<b>4</b>	<b>5</b>	<b>6</b>	<b>7</b>	<b>8</b>
<b>3</b>	2	∅	2, 5	6	∅	∅	∅	∅
<b>2</b>	∅	8	∅	∅	8	8	∅	∅
<b>1</b>	∅	∅	∅	∅	∅	∅	∅	7
	2 <sub>3</sub>	8 <sub>2</sub>	2 <sub>3</sub> , 5 <sub>3</sub>	6 <sub>3</sub>	8 <sub>2</sub>	8 <sub>2</sub>		7 <sub>1</sub>

<b>№ уровня</b> \ $v$	<b>1</b>	<b>2</b>	<b>3</b>	<b>4</b>	<b>5</b>	<b>6</b>	<b>7</b>	<b>8</b>
<b>2</b>	2	∅	2, 5	6	∅	∅	2	∅
<b>1</b>	∅	8	∅	∅	8	8	8	∅
	2 <sub>2</sub>	8 <sub>1</sub>	2 <sub>2</sub> , 5 <sub>2</sub>	6 <sub>2</sub>	8 <sub>1</sub>	8 <sub>1</sub>	8 <sub>1</sub>	∅

## Приложение П2

Каждая из  $n = |V| = 8$  представленных здесь таблиц объединяет в себе  $\bar{P}(u)$ -таблицу (пронумерованные строки — уровни проекции), определяющую все простые маршруты в вершину  $u$  с длиной, не превышающей ее обратного эксцентриситета  $\bar{\varepsilon}(u)$ , и полученную из этой таблицы SDSR-строку (серая заливка), определяющую только кратчайшие маршруты в вершину  $u$  (соответствующий ей столбец с пустым содержимым залит серым).

<b>№ уровня</b> \ $v$	<b>1</b>	<b>2</b>	<b>3</b>	<b>4</b>	<b>5</b>	<b>6</b>	<b>7</b>	<b>8</b>
<b>3</b>	∅	3	∅	3	3, 8	8	8	6
<b>2</b>	∅	∅	2, 4	∅	∅	4	∅	2
<b>1</b>	∅	1	∅	1	∅	∅	∅	∅
	∅	1 <sub>1</sub>	2 <sub>2</sub> , 4 <sub>2</sub>	1 <sub>1</sub>	3 <sub>3</sub> , 8 <sub>3</sub>	4 <sub>2</sub>	8 <sub>3</sub>	2 <sub>2</sub>

<b>№ уровня</b> \ $v$	<b>1</b>	<b>2</b>	<b>3</b>	<b>4</b>	<b>5</b>	<b>6</b>	<b>7</b>	<b>8</b>
<b>2</b>	∅	∅	∅	1, 3	3, 8	8	8	∅
<b>1</b>	2	∅	2	∅	∅	∅	∅	2
	2 <sub>1</sub>	∅	2 <sub>1</sub>	1 <sub>2</sub> , 3 <sub>2</sub>	3 <sub>2</sub> , 8 <sub>2</sub>	8 <sub>2</sub>	8 <sub>2</sub>	2 <sub>1</sub>

$\begin{matrix} \nu \\ \text{№} \\ \text{уровня} \end{matrix}$	1	2	3	4	5	6	7	8
3	∅	1, 8	∅	1	8	8	8	6
2	2, 4	∅	∅	∅	∅	4	∅	2, 5
1	∅	3	∅	3	3	∅	∅	∅
	2 <sub>2</sub> , 4 <sub>2</sub>	3 <sub>1</sub>	∅	3 <sub>1</sub>	3 <sub>1</sub>	4 <sub>2</sub>	8 <sub>3</sub>	2 <sub>2</sub> , 5 <sub>2</sub>

$\begin{matrix} \nu \\ \text{№} \\ \text{уровня} \end{matrix}$	1	2	3	4	5	6	7	8
3	2	8	2	∅	8	∅	8	2, 5
2	∅	1, 3	∅	∅	3	∅	∅	6
1	4	∅	4	∅	∅	4	∅	∅
	4 <sub>1</sub>	1 <sub>2</sub> , 3 <sub>2</sub>	4 <sub>1</sub>	∅	3 <sub>2</sub>	4 <sub>1</sub>	8 <sub>3</sub>	6 <sub>2</sub>

$\begin{matrix} \nu \\ \text{№} \\ \text{уровня} \end{matrix}$	1	2	3	4	5	6	7	8
4	2	∅	2	1, 3	∅	∅	∅	∅
3	2	7	2	∅	∅	∅	∅	∅
2	∅	8	∅	∅	∅	8	8	∅
1	∅	∅	∅	∅	∅	∅	∅	5
	2 <sub>3</sub>	8 <sub>2</sub>	2 <sub>3</sub>	1 <sub>4</sub> , 3 <sub>4</sub>	∅	8 <sub>2</sub>	8 <sub>2</sub>	5 <sub>1</sub>

$\begin{matrix} \nu_j \\ \text{№} \\ \text{уровня} \end{matrix}$	1	2	3	4	5	6	7	8
4	2	∅	2	1, 3	3	∅	∅	∅
3	2	7	2	∅	∅	∅	∅	∅
2	∅	8	∅	∅	8	∅	8	∅
1	∅	∅	∅	∅	∅	∅	∅	6
	2 <sub>3</sub>	8 <sub>2</sub>	2 <sub>3</sub>	1 <sub>4</sub> , 3 <sub>4</sub>	8 <sub>2</sub>	∅	8 <sub>2</sub>	6 <sub>1</sub>

$\begin{matrix} \nu_j \\ \text{№} \\ \text{уровня} \end{matrix}$	1	2	3	4	5	6	7	8
3	2	∅	2	1, 3	3, 8	8	∅	∅
2	2	8	2	∅	8	8	∅	2
1	∅	7	∅	∅	∅	∅	∅	7
	2 <sub>2</sub>	7 <sub>1</sub>	2 <sub>2</sub>	1 <sub>3</sub> , 3 <sub>3</sub>	8 <sub>2</sub>	8 <sub>2</sub>	∅	7 <sub>1</sub>

<b>№ уровня</b> \ <i>v<sub>j</sub></i>	<b>1</b>	<b>2</b>	<b>3</b>	<b>4</b>	<b>5</b>	<b>6</b>	<b>7</b>	<b>8</b>
<b>3</b>	2	∅	2	<b>3, 1</b>	3	∅	∅	∅
<b>2</b>	2	7	2	∅	∅	∅	∅	∅
<b>1</b>	∅	<b>8</b>	∅	∅	<b>8</b>	<b>8</b>	<b>8</b>	∅
	<b>2<sub>2</sub></b>	<b>8<sub>1</sub></b>	<b>2<sub>2</sub></b>	<b>1<sub>3</sub>, 3<sub>3</sub></b>	<b>8<sub>1</sub></b>	<b>8<sub>1</sub></b>	<b>8<sub>1</sub></b>	∅